

# Effet d'un champ magnétique sur la transition d'horloge du rubidium 85

**Durée : 2 heures**  
*Aucun document ni calculette autorisé*

Dans un atome alcalin (Li, Na, Rb, K, Cs et Fr), on peut, en première approximation, considérer que seul l'électron le plus éloigné du noyau (l'électron de valence) est responsable des niveaux d'énergie de l'atome, les autres électrons et le noyau formant une zone centrale d'extension non-négligeable qui joue le rôle d'un noyau effectif écranté. Lorsque l'on ne prend pas en compte les corrections dues aux spins (l'hamiltonien est alors noté  $H_0$ ), les niveaux d'énergie des états liés  $|nLm_L\rangle$  diffèrent alors de ceux d'un atome d'hydrogène sans spin par un terme  $\delta_L$  appelé "défaut quantique" :

$$E_{nL} = -\frac{R_y \cdot hc}{(n - \delta_L)^2} \quad n \geq 1 \quad (1)$$

où  $R_y$  est la constante de Rydberg de l'atome considéré et où  $L$  et  $m$  sont les nombres quantiques associés aux valeurs propres des opérateurs  $\vec{L}^2$  et  $L_z$  ( $\vec{L}$  est l'opérateur de moment cinétique orbital de l'électron de valence).

Dans le cas du rubidium 85, dont la configuration du niveau fondamental est :

$$(1s)^2 (2s)^2 (2p)^6 (3s)^2 (3p)^6 (4s)^2 (3d)^10 (4p)^6 (5s)^1 = [Kr] (5s)^1 \quad (2)$$

on mesure :  $\delta_0 = 3,13$  ;  $\delta_1 = 2,65$  ;  $\delta_2 = 1,34$  ;  $\delta_3 = 0,02 \dots$

## I. Symétrie et défaut quantique du $^{85}Rb$

On ne tient pas compte dans cette partie des spins (de l'électron et du noyau).

1. Quelle est la symétrie responsable de la dégénérescence d'ordre  $2L + 1$  des niveaux d'énergie d'un électron dans un potentiel central ? Quelle est, par conséquent, la dégénérescence d'un niveau  $E_{nL}$  ?
2. La comparer à celle du niveau  $E_n$  d'un atome d'hydrogène sans spin (la différence provient d'une symétrie "accidentelle" d'origine dynamique).
3. (Bonus) Expliquer qualitativement pourquoi le défaut quantique est plus important pour les faibles valeurs de  $L$ .
4. (Bonus) Dans le cas du sodium  $^{23}Na$ , on mesure des valeurs plus faibles :  $\delta_0 = 1,35$  ;  $\delta_1 = 0,86$  ;  $\delta_2 = 0,01$  ;  $\delta_3 = 0$ . Expliquer pourquoi.

## II. Spin de l'électron de valence

On tient compte à partir de maintenant du spin de l'électron de valence, mais on suppose tout d'abord qu'il n'interagit pas avec les autres moments cinétiques.

1. Rappeler les valeurs de  $S$  et  $m_S$ , nombres quantiques associés aux valeurs propres de  $\vec{S}^2$  et  $S_z$ , où  $\vec{S}$  est l'opérateur de moment cinétique de spin de l'électron de valence.
2. De quels opérateurs de moment cinétique est vecteur propre le vecteur  $|nLm_L; Sm_S\rangle$ ? Ecrire l'action de ces opérateurs sur ce ket.
3. Quelles sont les valeurs de  $L$  et  $m_L$  pour un niveau "s"?
4. Quelle est la dégénérescence du niveau  $5s$ ?
5. Quelle est la dégénérescence du premier niveau excité  $5p$ ?

## III. Structure fine du $^{85}Rb$

Le spin de l'électron de valence se couple en fait à son moment cinétique orbital par l'intermédiaire de l'hamiltonien d'interaction suivant :

$$H_{SO} = a \vec{L} \cdot \vec{S} \quad (3)$$

1. (*Bonus*) Calculer le commutateur  $[H_{SO}, \vec{J}]$ , où  $\vec{J} = \vec{L} + \vec{S}$  est le moment cinétique total de l'électron de valence. Sur quelle symétrie du problème pourrait-on s'appuyer pour prédire ce résultat?
2. Donner les valeurs possibles du nombre quantique  $J$  associé aux vapeurs propres de l'opérateur  $\vec{J}^2$  en fonction de  $L$  et  $S$ .
3. Quelles sont les différentes valeurs de  $J$  associées aux états  $5s$  et  $5p$ ? (dorénavant, pour repérer ces niveaux, on utilisera la notation spectroscopique " $n$  (symbole associé à  $L$ ) $_J$ ")
4. Exprimer  $H_{SO}$  en fonction de  $\vec{J}^2$ ,  $\vec{L}^2$  et  $\vec{S}^2$ .
5. En déduire les vecteurs propres de l'hamiltonien  $H_0 + H_{SO}$  ainsi que les niveaux d'énergie de l'état  $5s$  et des états du doublet  $5p$ . Pourquoi le niveau  $5s$  n'est-il pas modifié par  $H_{SO}$ ?
6. Les longueurs d'onde des raies d'absorption  $5s - 5p$  pour le  $^{85}Rb$  sont de  $780\text{ nm}$  et  $795\text{ nm}$ . Estimer l'écart énergétique, en  $eV$ , entre les 2 niveaux du doublet de structure fine du  $^{85}Rb$ .

## IV. Structure hyperfine du $^{85}Rb$

Le noyau de l'atome de  $^{85}Rb$  possédant un moment cinétique de spin  $\vec{I}$  ( $I = 5/2$ ), il existe, dans l'hamiltonien de l'électron de valence, un terme supplémentaire de couplage entre le moment magnétique  $\vec{M}_I$  du noyau et le moment magnétique  $\vec{M}_e$  de l'électron :

$$H_{hf} = b \vec{M}_I \cdot \vec{M}_e \quad (4)$$

avec :  $\vec{M}_I = -g_I \mu_B \vec{I}/\hbar$ ;  $\vec{M}_L = -g_L \mu_B \vec{L}/\hbar$  et  $\vec{M}_S = -g_S \mu_B \vec{S}/\hbar$  les moments magnétiques associés aux divers moments cinétiques. La quantité  $\mu_B = \frac{e\hbar}{2m_e}$  est le magnéton de Bohr, et les facteurs de Landé valent  $g_I = -0.0003$ ,  $g_L = 1$  et  $g_S = 2$ .

1. Rappeler le théorème de Wigner-Eckart et justifier que le moment magnétique total de l'électron  $\vec{M}_e$  est proportionnel à  $\vec{J}$  dans chaque sous-espace propre de  $\vec{J}^2$ :

$$\vec{M}_e = -g_J \mu_B \vec{J}/\hbar \quad (5)$$

(sans pour l'instant faire le calcul de  $g_J$  qui sera demandé à la question IV.4).

2. Exprimer  $\vec{M}_e$  en fonction de  $\vec{M}_L$  et  $\vec{M}_S$ , puis en fonction de  $\vec{L}$  et  $\vec{S}$ .

3. Exprimer  $\vec{M}_e \cdot \vec{J}$  en fonction de  $\vec{L}$  et  $\vec{S}$  seulement, puis en fonction de  $\vec{L}^2$ ,  $\vec{S}^2$  et  $\vec{J}^2$  seulement.
4. En prenant une valeur moyenne adéquate, exprimer  $g_J$  en fonction de  $g_I$ ,  $g_L$ ,  $g_S$ ,  $J$ ,  $L$  et  $S$ .
5. Montrer que  $g_J(5s_{1/2}) = 2$ ,  $g_J(5p_{1/2}) = 2/3$  et  $g_J(5p_{3/2}) = 4/3$ .
6. Exprimer  $H_{hf}$  en fonction de  $\vec{T}^2$ ,  $\vec{J}^2$  et  $\vec{F}^2$ , où  $\vec{F} = \vec{T} + \vec{J}$  est le moment cinétique total du système.
7. Quelles sont les valeurs possibles de  $F$  pour chacun des états  $5s_{1/2}$ ,  $5p_{1/2}$  et  $5p_{3/2}$  ?
8. Donner les niveaux d'énergie hyperfins (en fonction de  $\mu_B$ ,  $b$  et  $g_I$ ) des multiplets associés aux états  $5s_{1/2}$  et  $5p_{1/2}$ .
9. Quelle est la dégénérescence de ces niveaux d'énergie hyperfins ?
10. Sachant que le couplage hyperfin est d'autant plus grand que la probabilité de présence de l'électron de valence est importante à l'emplacement du noyau, expliquer pourquoi le dédoublement du niveau  $5s_{1/2}$  est plus important que celui du niveau  $5p_{1/2}$ .
11. L'écart entre les 2 niveaux hyperfins de l'état  $5s_{1/2}$  est d'environ  $3\text{GHz}$ , quelle est la valeur numérique de l'écart entre les 2 niveaux hyperfins de l'état  $5p_{1/2}$  ?

## V. Interaction avec un champ magnétique extérieur

Nous supposons maintenant que l'atome de  $^{85}\text{Rb}$  est plongé dans un champ magnétique uniforme  $\vec{B}$  ce qui conduit à un hamiltonien supplémentaire du type :

$$H_B + H_{diam} \quad (6)$$

où  $H_B$  rend compte de l'énergie magnétique du moment magnétique total  $\vec{M}$  du système ( $H_B$  est alors proportionnel à  $B$ , la norme de  $\vec{B}$ ) et où le terme diamagnétique  $H_{diam}$  est lié à la déformation des orbites électroniques en présence du champ  $\vec{B}$  ( $H_{diam}$  est proportionnel à  $B^2$ ).

Lorsque  $B$  n'est pas trop intense, l'effet de  $H_{diam}$  est négligeable devant  $H_B$ , ce que nous supposerons par la suite.

1. Donner l'expression de  $H_B$  en fonction de  $\vec{M}$  et  $\vec{B}$ .
2. Choisir judicieusement la direction de l'axe  $z$  du repère cartésien et exprimer  $H_B$  en fonction de  $L_z$ ,  $S_z$ ,  $I_z$ ,  $B$  et des autres constantes du problème.
3. Expliquer pourquoi, lorsque le déplacement des niveaux d'énergie dus au champ  $\vec{B}$  est suffisamment petit (par rapport à quoi ?), on peut exprimer  $H_B$  sous la forme :

$$H_B = \frac{\mu_B B}{\hbar} (g_J J_z + g_I I_z) \quad (7)$$

avec  $g_J$  déterminé à la partie précédente.

## VI. Formule de Breit-Rabi pour la transition d'horloge du $^{85}\text{Rb}$

On se place maintenant dans le cas où les effets de  $H_B$  et  $H_{hf}$  sont comparables, ou, du moins, lorsque l'on ne peut pas négliger un effet par rapport à l'autre. On note :  $H_1 = H_B + H_{hf}$ , et l'on suppose ici que  $J = 1/2$ .

1. De combien de vecteurs est formée la base  $|IJ; m_I m_J\rangle$  pour le  $^{85}\text{Rb}$  lorsque  $J = 1/2$ . En déduire la dégénérescence du niveau  $5s_{1/2}$ .
2. Est-ce que la matrice représentant  $H_1$  est diagonale dans cette base ? (justifier sans calcul)
3. Montrer que l'opérateur  $\vec{T} \cdot \vec{J}$  peut s'écrire sous la forme :

$$\vec{T} \cdot \vec{J} = I_z J_z + (I_+ J_- + I_- J_+)/2 \quad (8)$$

4. (Bonus) En utilisant la question précédente, montrer (sans les calculer) que seuls sont différents de zéro les éléments de matrice  $\langle IJ; m_I m_J | H_{hf} | IJ; m'_I m'_J \rangle$  pour lesquels : ( $m'_J = m_J$  et  $m'_I = m_I$ ) ou ( $m'_J = m_J + 1$  et  $m'_I = m_I$  ou ( $m'_J = m_J - 1$  et  $m'_I = m_I + 1$ )).
5. On souhaite calculer, par la théorie des perturbations stationnaires, les corrections au premier ordre en  $H_1$  du niveau d'énergie de structure fine  $5s_{1/2}$ . Pour cela, de quelle matrice doit-on chercher les valeurs propres ? Quelle est la dimension de cette matrice ?

A l'aide de la question VI.4, on peut montrer que cette matrice est diagonale par blocs, chaque bloc correspondant à une valeur particulière du nombre  $m_F$ . On considère maintenant le bloc correspondant à  $m_F = 0$ .

6. Quels sont les 2 états  $|IJ; m_I m_J\rangle$  pour lesquels  $m_F = 0$  ? Quels sont les 2 états  $|IJ; Fm_F\rangle$  correspondants ? Comment s'appellent les coefficients liant ces deux couples de vecteurs ?
7. En utilisant la formule donnée en annexe, exprimer le ket  $I_+ J_- |\frac{5}{2}\frac{1}{2}; -\frac{1}{2} + \frac{1}{2}\rangle$  en fonction du ket  $|\frac{5}{2}\frac{1}{2}; +\frac{1}{2} - \frac{1}{2}\rangle$ .
8. Montrer que

$$\left\langle \frac{5}{2}\frac{1}{2}; +\frac{1}{2} - \frac{1}{2} \middle| H_{hf} \right| \frac{5}{2}\frac{1}{2}; -\frac{1}{2} + \frac{1}{2} \rangle = \left\langle \frac{5}{2}\frac{1}{2}; -\frac{1}{2} + \frac{1}{2} \middle| H_{hf} \right| \frac{5}{2}\frac{1}{2}; +\frac{1}{2} - \frac{1}{2} \rangle = 3b\mu_B^2 g_I \quad (9)$$

9. Ecrire la matrice représentant  $H_1$  dans la base  $\{|\frac{5}{2}\frac{1}{2}; -\frac{1}{2} + \frac{1}{2}\rangle, |\frac{5}{2}\frac{1}{2}; +\frac{1}{2} - \frac{1}{2}\rangle\}$ , et montrer qu'elle peut se mettre sous la forme :

$$\begin{pmatrix} \alpha + \beta & \gamma \\ \gamma & \alpha - \beta \end{pmatrix} \quad (10)$$

où l'on précisera l'expression des coefficients réels  $\alpha$ ,  $\beta$  et  $\gamma$ . On constate alors que seul le coefficient  $\beta$  dépend (linéairement) de  $B$ , les coefficients  $\alpha$  et  $\gamma$  dépendant linéairement de  $b$ .

10. Calculer les valeurs propres de cette matrice, d'abord en fonction de  $\alpha$ ,  $\beta$  et  $\gamma$ , puis en fonction de  $\mu_B$ ,  $b$ ,  $B$  et  $g_I$  (on obtient ainsi la formule de Breit-Rabi dans le cas particuliers des états  $s$ ).
11. Déterminer, à l'aide de la théorie des perturbations stationnaires, les corrections au premier ordre en  $H_1$  du niveau d'énergie de structure fine  $5s_{1/2}$  lorsque  $m_I = \pm 1/2$ .
12. Comment cette correction dépend-elle de  $B$  ? Pour comprendre le phénomène, reprendre la question V.3 en supposant que l'effet de  $\vec{B}$  est négligeable par rapport à la structure hyperfine et montrer que la correction au premier ordre en  $B$  est proportionnelle à  $m_F$ , puis conclure.
13. Exprimer le décalage spectral  $\Delta\nu$  de la transition d'horloge  $(F = 2, m_F = 0) \longleftrightarrow (F = 3, m_F = 0)$  dû à  $B^2$ . Quel est, qualitativement, le domaine de validité de cette expression (par exemple, par rapport à  $H_{SO}$  et  $H_{diam}$ ) ?

#### Annexe : formules et données utiles

$$h = 6,63 \cdot 10^{-34} \text{ J.s} \quad c = 3 \cdot 10^8 \text{ m.s}^{-1} \quad e = 1,6 \cdot 10^{-19} \text{ C}$$

$$J_{\pm} = J_x \pm i J_y \quad J_{\pm} |J, m_J\rangle = \hbar \sqrt{J(J+1) - m_J(m_J \pm 1)} |J, m_J \pm 1\rangle$$

RAPPEL DU  
N° DE PLACE

I.

pot. central

rotation / isotropie → indépendant de  $M_L$

$$\rightarrow -L \leq M_L \leq +L \Rightarrow \text{dégé}(E_{nL}) = 2L+1$$

$$2) E_n(H_{\text{spin}}) = n^2 \neq 2L+1 \quad (E_n \times)$$

bonne 3)  $\delta_L$  est lié à l'interaction de l' $e^-$  de valence avec le noyau central et les autres  $e^-$  qui écrivent le noyau. Il est d'autant  $\oplus$  que l' $e^-$  a une proba. de présence non négligeable dans cette zone centrale. Il décroît donc avec  $L$ .

bonne 4) Car le "coeur" d'un atome de Na est  $\oplus$  petit que celui d'un atome de Rb

II

$$1) S = \frac{1}{2} \Rightarrow M_S = \pm \frac{1}{2}$$

$$2) \vec{L}^2 |n L M_L; S M_S\rangle = \hbar^2 L(L+1) \cdot |n L M_L; S M_S\rangle$$

$$L_z \quad " \quad = M_L \cdot \hbar \quad "$$

$$\vec{S}^2 \quad " \quad = \hbar^2 S(S+1) \quad "$$

$$S_z \quad " \quad = M_S \cdot \hbar \quad "$$

$$3) \text{niveau } s \Leftrightarrow L=0 \Rightarrow M_L=0$$

$$4) 5s : L=0; M_L=0; S=\frac{1}{2}; M_S=\pm \frac{1}{2} \Rightarrow \boxed{\text{dégé} = 2}$$

$$5) 5p : L=1; M_L=-1, 0, 1; S=\frac{1}{2}; M_S=\pm \frac{1}{2} \Rightarrow \boxed{\text{dégé} = 2 \times 3 = 6}$$

III

bonne

$$1) [a \cdot \vec{L} \cdot \vec{S}, L_x + S_x] = a [L_y \cdot S_y, L_x + S_x] + a [L_z \cdot S_z, L_x + S_x]$$

$$= a [L_y, L_x] \cdot S_y + a \cdot L_y [S_y, S_x] + a [L_z, L_x] \cdot S_z$$

$$= a S_y \cdot (i\hbar) L_z + a \cdot L_y \cdot (i\hbar) S_z + a L_z \cdot (S_x, S_x)$$

$$+ a \cdot S_x \cdot (i\hbar) L_y + a \cdot L_z \cdot (i\hbar) S_y = 0$$

$[L_x, L_y] = i\hbar L_z$   
+ perm. circ.

→ par symétrie :  $[a \cdot \vec{L} \cdot \vec{S}, \vec{L} + \vec{S}] = \vec{0}$

III. 2)  $|L-S| \leq J \leq L+S$  (avec  $S = 1/2$ )

3)  $5S: L=0 \Rightarrow J = 1/2$ ;  $5P: L=1 \Rightarrow J = 1/2 \text{ ou } 3/2$   
 $5S_{1/2}$        $5P_{1/2}$        $5P_{3/2}$

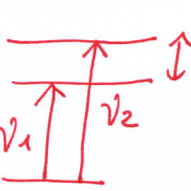
4)  $H_{SO} = a \cdot \frac{\vec{J}^2 - \vec{L}^2 - \vec{S}^2}{2} \rightarrow \text{op: } \frac{a\hbar^2}{2} \cdot (J(J+1) - L(L+1) - S(S+1))$

5)  $E(5S_{1/2}) = E_{50} + 0$

$\frac{VP}{(NLSJM_J)}$   
 $E(5P_{1/2}) = E_{51} + \underbrace{\frac{a\hbar^2}{2} \cdot \left( \frac{1}{2}\left(\frac{1}{2}+1\right) - 1(1+1) - \frac{1}{2}\left(\frac{1}{2}+1\right) \right)}_{= -a\hbar^2}$

$E(5P_{3/2}) = E_{51} + \underbrace{\frac{a\hbar^2}{2} \cdot \left( \frac{3}{2}\left(\frac{3}{2}+1\right) - 1(1+1) - \frac{1}{2}\left(\frac{1}{2}+1\right) \right)}_{+ \frac{a\hbar^2}{2}}$

④ → niveau  $5S$  pas modifié par toute opérateur dépendant de  $\vec{L}$  puisque  $L=0=M_L$

6)  $\text{écart} = \frac{3}{2}a\hbar^2 = h(v_2 - v_1)$   
 $= hc \left( \frac{1}{\lambda_2} - \frac{1}{\lambda_1} \right)$

$= hc \cdot \frac{\lambda_1 - \lambda_2}{\lambda_1 \cdot \lambda_2}$

$\approx \frac{hc}{\lambda^2} \cdot (\lambda_1 - \lambda_2)$

$\approx 1,24 \cdot 10^{-6} \cdot \frac{15 \cdot 10^{-9}}{(800 \cdot 10^{-9})^2}$

$\approx 0,03 \text{ eV}$

IV)

W-E :  $\vec{J}$  tout opérateur vectoriel (n'a-a pas d'un op. de moment physique  $\vec{J}$ ) et proportionnel à  $\vec{J}$  dans chaque sous-espace propre  $E_J$  de  $\vec{J}^2 \cap \mathcal{I}$ .

RAPPEL DU  
N° DE PLACE

av  
Mention  
que  
ne est  
op. vectoriel  
par  $\vec{J}$

$\Rightarrow \vec{L} \perp \vec{J}$  et  $\vec{S} \perp \vec{J}$  dans  $E_J$

donc  $\vec{\Pi}_L$  et  $\vec{\Pi}_S \perp \vec{J}$  dans  $E_J$

donc  $\vec{\Pi}_e = \vec{\Pi}_L + \vec{\Pi}_S \perp \vec{J}$  dans  $E_J = -g_J \cdot \frac{\mu_B}{\hbar} \cdot \vec{J}$

$$2) \vec{\Pi}_e = \vec{\Pi}_L + \vec{\Pi}_S = -\frac{\mu_B}{\hbar} \cdot (g_L \cdot \vec{L} + g_S \cdot \vec{S})$$

$$3) \vec{\Pi}_e \cdot \vec{J} = -\frac{\mu_B}{\hbar} \cdot (g_L \cdot \vec{L} + g_S \cdot \vec{S}) \cdot (\vec{L} + \vec{S})$$

$$= -\frac{\mu_B}{\hbar} \cdot (g_L \cdot \vec{L}^2 + g_S \cdot \vec{S}^2 + (g_L + g_S) \cdot \frac{\vec{L} \cdot \vec{S}}{\vec{J}^2 - \vec{L}^2 - \vec{S}^2})$$

$$4) \langle \vec{\Pi}_e \cdot \vec{J} \rangle_{\text{LSJ}} = -g_J \cdot \mu_B \cdot \hbar \cdot J(J+1)$$

$$= -\mu_B \cdot \hbar \cdot (g_L \cdot L(L+1) + g_S \cdot S(S+1))$$

$$+ \frac{g_L + g_S}{2} \cdot (J(J+1) - L(L+1) - S(S+1))$$

$$\Rightarrow \boxed{g_J = \frac{g_L + g_S}{2} + \frac{g_S - g_L}{2} \cdot \frac{S(S+1) - L(L+1)}{J(J+1)}}$$

$$5) g_J(5S_{1/2}) = \frac{3}{2} + \frac{1}{2} \cdot \frac{1_1(1_1+1) - 0}{1_1(1_1+1)} = \cancel{\frac{3}{2}} + \frac{1}{2} = \boxed{2}$$

$$g_J(5P_{1/2}) = \frac{3}{2} + \frac{1}{2} \cdot \frac{1_1(1_1+1) - 1(1+1)}{1_1(1_1+1)} = \frac{3}{2} - \frac{5}{6} = \boxed{\frac{2}{3}}$$

$$g_J(5P_{3/2}) = \frac{3}{2} + \frac{1}{2} \cdot \frac{1_1(1_1+1) - 1(1+1)}{3_1(3_1+1)} = \frac{3}{2} - \frac{1}{6} = \boxed{\frac{4}{3}}$$

$$6) H_{hf} = b \cdot (g_J \cdot \frac{\mu_B}{\hbar}) \cdot \vec{I} \cdot (-g_J \cdot \frac{\mu_B}{\hbar}) \cdot \vec{J} = +b \cdot \frac{\mu_B^2}{\hbar^2} \cdot g_J \cdot g_J \cdot \underbrace{\vec{I} \cdot \vec{J}}_{\frac{\vec{F}^2 - \vec{I}^2 - \vec{J}^2}{2}}$$

$$(\vec{F} = \vec{I} + \vec{J})$$

$$\text{IV.7) } 5s_{1/2} \text{ et } 5p_{1/2} : \frac{|I-J|}{2} \leq F \leq \frac{I+J}{3} : F = 2003$$

$$5p_{3/2} : 1 \leq F \leq 4 : F = 1, 2, 3 \text{ ou } 4$$

8)  $5s_{1/2} : E_{50} + O + b \cdot \mu_B^2 g_I \cdot \left( F(F\alpha) - I(I\alpha) - J(J\alpha) \right)$

$\stackrel{O=0}{=} 2(2\alpha) = 6 \quad \frac{I(F\alpha)}{2} = \frac{35}{4} \quad \frac{J(K\alpha)}{2} = \frac{3}{4}$

$b \cdot \mu_B^2 g_I \cdot \begin{cases} (-\frac{1}{2}) & \text{si } F=2 \\ (+\frac{1}{2}) & \text{si } F=3 \end{cases} \quad \frac{38}{4} = \frac{19}{2}$

$\left( 6 - \frac{19}{2} = -\frac{7}{2} \right) \quad \left( 12 - \frac{19}{2} = \frac{5}{2} \right)$

$5p_{1/2} : E_{51} - \alpha h^2 + b \cdot \mu_B^2 g_I \cdot \frac{1/3}{2} \cdot \left( F(F\alpha) - I(I\alpha) - J(J\alpha) \right)$

$\downarrow \quad \text{item } -\frac{7}{2} \text{ si } F=2 \quad +\frac{5}{2} \text{ si } F=3$

$b \cdot \mu_B^2 g_I \cdot \begin{cases} (-\frac{7}{6}) & \text{si } F=2 \\ (+\frac{5}{6}) & \text{si } F=3 \end{cases}$

9)  $F=2 \Rightarrow M_F = -2, -1, 0, +1, +2 : \underline{\text{degré}} = 5$

$F=3 \Rightarrow M_F = -3, \dots, +3 : \underline{\text{degré}} = 7$

10)  $S: L=0 \quad / \quad p: L=1$   
proba. de présence  
 $\oplus$  grande

11) écart entre  $F=2$  et  $F=3$  de  $5s_{1/2} : 6 \cdot b \cdot \mu_B^2 g_I \hookrightarrow 36 \text{ kHz}$   
 " " " " "  $5p_{1/2} : 2 \cdot b \cdot \mu_B^2 g_I \Rightarrow \boxed{16 \text{ kHz}}$

IV)

$$H_B = -\vec{n} \cdot \vec{B}$$

RAPPEL DU  
N° DE PLACE

$$= -n_z B \text{ avec } \vec{B} = B \cdot \hat{e}_z$$

$$= +\frac{\mu_B}{\hbar} B \cdot (g_L L_z + g_S S_z + g_I I_z)$$

- 3)  $(H_B) \ll (H_1) \Rightarrow \vec{J} = \text{moment cinétique total de l'électron}$   
 peu perturbé par  $\vec{B}$  (et  $\vec{J}$ )  
 $\Rightarrow J = \text{"bon" nombre } q$   
 $\Rightarrow g_L L_z + g_S S_z = g_J J_z$

IV)

$$I = \frac{1}{2} \Rightarrow M_I = -\frac{1}{2}, -\frac{3}{2}, -\frac{1}{2}, +\frac{1}{2}, +\frac{3}{2}, +\frac{1}{2} : 6 \text{ vecteur } |IM_I\rangle$$

$$J = \frac{1}{2} \Rightarrow M_J = \pm \frac{1}{2} : 2 \text{ vecteur } |JM_J\rangle$$

$$\Rightarrow 12 \text{ vecteur } |IJ; MI MJ\rangle$$

$5S\frac{1}{2}$  : état énergie (dans le cadre du pb. posé)  
 ne dépend pas de  $I_z$  et  $J_z$  lorsqu'il ne prend pas en compte  $H_1$   $\Rightarrow \boxed{\text{degré} = 12}$

2)  $H_1 = H_B + H_{hf} \rightarrow \text{fct de } \vec{I} \cdot \vec{J} = \underbrace{I_x J_x + I_y J_y}_{\substack{\text{fct de } I_x, J_x \\ \text{fct de } I_z \text{ et } J_z}} + \underbrace{I_z J_z}_{\substack{\text{diago} \\ \cancel{\text{pas diago}}}}$   
 $\Rightarrow \text{diago.}$   $\Rightarrow \underline{H_1 \text{ pas diago}}$

3)  $\vec{I} \cdot \vec{J} = I_z J_z + \underbrace{\frac{I_+ + I_-}{2} \cdot \frac{J_+ + J_-}{2}}_{\substack{\cancel{I_- J_+ + I_+ J_-} \\ \times 2}} + \underbrace{\frac{I_+ - I_-}{2i} \cdot \frac{J_+ - J_-}{2i}}_{\substack{\cancel{I_- J_+ + I_+ J_-} \\ \times 2}}$

- 4)  $I_- J_+ |MI MJ\rangle \not\propto |M_I-1; M_J+1\rangle$   
 $I_+ J_- | " \rangle \not\propto |M_I+1; M_J-1\rangle$   
 $I_z J_z | " \rangle \not\propto |M_I; M_J\rangle$

VI. 4)  
(1u6)

dans les deux éléments de matrice non-nuls sont ceux de l'énoncé.

- 5) niveaux de structure fine :  $nLSI$  :  $5S_{1/2}$  déjà (2 fois)  
 ↳ perturb ratio  $\Rightarrow$  cancelor du 1<sup>er</sup> ordre  $|nLSII; MIM\rangle$   
 en  $M_I$   
 = V.P. de la mat. de  $M_I$   
 dans la base des  $\{|IJ; MI MJ\rangle\}$   
 $\Rightarrow$  Matrice  $12 \times 12$  !

- 6)  $M_F = 0 = M_I + M_J$  or  $M_J = \pm \frac{1}{2}$  donc 2 cas :

$$\begin{cases} M_I = +\frac{1}{2} \text{ et } M_J = -\frac{1}{2} \rightarrow |+\rangle \\ \text{ou} \\ M_I = -\frac{1}{2} \text{ et } M_J = +\frac{1}{2} \rightarrow |- \rangle \end{cases}$$

par  $F=2$  ou  $3 \Rightarrow \{|20\rangle, |30\rangle\}$  exprimés en fonction des vecteurs  $\{|+\rangle, |-\rangle\}$  par l'intermédiaire des coef. de Clebsch-Gordan.

$$7) I+ \left| \begin{array}{c} I \\ \frac{5}{2} \quad -\frac{1}{2} \end{array} \right\rangle = \hbar \sqrt{\underbrace{I(I+1)}_{\frac{35}{4}} - \underbrace{(-\frac{1}{2})(-\frac{1}{2}+1)}_{\frac{1}{4}}} \left| \begin{array}{c} \frac{5}{2} \\ +\frac{1}{2} \end{array} \right\rangle$$

$$= 3\hbar \left| \begin{array}{c} \frac{5}{2} \\ +\frac{1}{2} \end{array} \right\rangle \quad \frac{36}{4} = g_e 3^2$$

$$J- \left| \begin{array}{c} J \\ \frac{1}{2} \quad \frac{1}{2} \end{array} \right\rangle = \hbar \sqrt{\underbrace{J(J+1)}_{\frac{3}{4}} - \underbrace{(\frac{1}{2})(\frac{1}{2}-1)}_{\frac{1}{4}}} \left| \begin{array}{c} \frac{1}{2} \\ -\frac{1}{2} \end{array} \right\rangle$$

$$= \hbar \left| \begin{array}{c} \frac{1}{2} \\ -\frac{1}{2} \end{array} \right\rangle$$

$$\Rightarrow \boxed{I+J- \left| \begin{array}{c} \frac{5}{2} \frac{1}{2} ; -\frac{1}{2} \frac{1}{2} \end{array} \right\rangle = 3\hbar^2 \cdot \left| \begin{array}{c} \frac{5}{2} \frac{1}{2} ; \frac{1}{2} -\frac{1}{2} \end{array} \right\rangle}$$

VI. 8)

$$H_{hf} = b \cdot \frac{\mu_B^2}{\hbar^2} \cdot g_I \cdot g_J \cdot \underbrace{(\vec{I} \cdot \vec{J})}_{I_z \cdot J_z + \frac{I_+ J_- + I_- J_+}{2}}$$

RAPPEL DU  
N° DE PLACE

$$\Rightarrow \left\langle \frac{1}{2} \frac{1}{2}; \frac{1}{2} - \frac{1}{2} \right| H_{hf} \left| \frac{1}{2} \frac{1}{2}; -\frac{1}{2} \frac{1}{2} \right\rangle = b \cdot \mu_B^2 \cdot g_I \cdot 3$$

et idem (par symétrie  $\leftrightarrow$  des  $I^\pm, J^\pm$ )

$$g) H_U = H_B + H_{hf} = \underbrace{\left[ \frac{\mu_B \cdot B}{\hbar} \cdot (g_I \cdot I_z + g_J \cdot J_z) + b \cdot \frac{\mu_B^2}{\hbar^2} \cdot g_I \cdot g_J \cdot I_z \cdot J_z \right]}_{\text{termes diag.}} + \underbrace{b \cdot \frac{\mu_B^2}{\hbar^2} \cdot g_I \cdot g_J^2 \cdot (\vec{I} \cdot \vec{J})}_{\text{termes hors-diag.}}$$

calculés avant.

$$\Rightarrow \begin{pmatrix} H_U \\ \end{pmatrix}_{(I, J; M_I, M_J)} = \begin{pmatrix} \alpha + \beta & \gamma \\ \gamma & \alpha - \beta \end{pmatrix}$$

avec:

$$\left| \begin{array}{l} \alpha = -\frac{b \cdot \mu_B^2 \cdot g_I}{2} \\ \beta = \mu_B \cdot B \cdot \cancel{(1 - g_J/2)} \\ \gamma = 3 \cdot b \cdot \mu_B^2 \cdot g_J \end{array} \right. \quad \left( M_I \cdot M_J = -\frac{1}{4} \right. \\ \left. \text{par les 2 termes diag.} \right)$$

10) VP: solution de  $\begin{vmatrix} \alpha + \beta & \gamma \\ \gamma & \alpha - \beta - \gamma \end{vmatrix} = 0 \quad \text{i.e. } \alpha = \sqrt{\beta^2 + \gamma^2}$

$\Leftrightarrow \boxed{-\frac{b \cdot \mu_B^2 \cdot g_I}{2} \pm \sqrt{\mu_B^2 \cdot \left(1 - \frac{g_J}{2}\right)^2 \cdot \beta^2 + 9 \cdot b^2 \cdot \mu_B^4 \cdot g_J^2}}$

(Breit - Rabi formula)

VI. 11) corr. du 1<sup>e</sup> ordre en  $H_1$  ~~corr. du 1<sup>e</sup> ordre en  
b et B~~

= les v.p. précédentes

12) fact. de  $B^2$  et pas de  $B$ .

$\rightarrow$  II. 3)  $H_B \curvearrowleft F_2$  (W-E)

si  $B$  très petit

$\Rightarrow$  effet de  $B = 0$  au 1<sup>e</sup> ordre en  $B$   
si  $M_F = 0$

13) Ecart entre  $(F=2, M_F=0)$  et  $(F=3, M_F=0)$

= écart entre les 2 v.p. précédentes

$$= 2 \cdot \sqrt{\beta^2 + \gamma^2}$$

$$= 2 \cdot \sqrt{\mu_B^2 \cdot \left(1 - \frac{g_I}{2}\right)^2 \cdot B^2 + g \cdot b^2 \cdot \mu_B^4 \cdot g_I^2}$$

$$= h \cdot \Delta V$$

Si l'on considère cette correction en  $B^2$ , il fautrait, en toute rigueur, vérifier que la correction du second ordre ( $\rightarrow$  Hdiagram) est plus petite et que la correction de structure n'est plus grande.

$\overbrace{\phantom{000}}$

|